

## ВЗАИМОДЕЙСТВИЕ ПЛОСКОЙ ГАРМОНИЧЕСКОЙ ВОЛНЫ С ТРЕХСЛОЙНОЙ ПРЯМОУГОЛЬНОЙ ПЛАСТИНОЙ В ГРУНТЕ

Н. А. ЛОКТЕВА, Н. А. СИНОДОВ, А. Н. УЛЬЯШИНА

*Московский авиационный институт (национальный исследовательский университет),  
Российская Федерация*

Одним из наиболее эффективных средств защиты от негативного воздействия колебаний, создаваемого подземным транспортом, являются вибропоглощающие преграды. В данной работе в качестве такого препятствия рассматривается прямоугольная трёхслойная пластина. Для её расчёта была разработана математическая модель взаимодействия пластины с окружающей её упругой средой.

Трёхслойная пластина, окружена с двух сторон заполненными грунтом полупространствами «1» и «2». Используется прямоугольная декартова система координат  $Oxyz$ . При этом предполагается, что плоскость  $Oxy$  для пластины является срединной, вдоль оси  $Ox$  и  $Oy$  ограничена и имеет длину  $l$ . В качестве модели грунта была использована однородная упругая изотропная среда. Математическая постановка задачи включает в себя задание набегающей волны, уравнений движения грунта и пластины, краевых условий для пластины и грунта, условий на бесконечности, а также условий контакта грунта с препятствием.

Целью является определение суммарного векторного поля ускорений  $a$  (виброускорений) во втором полупространстве как функции частоты  $\omega$  и пространственных координат  $x, y$  и  $z$  в зависимости от параметров пластины:

$$a_x = -\omega^2 u_1^2, \quad a_y = -\omega^2 u_2^2, \quad a_z = -\omega^2 w^2, \quad a = \sqrt{a_x^2 + a_y^2 + a_z^2}.$$

Для описания движения грунта используется замкнутая система уравнений, описывающая её плоское движение. Она включает в себя уравнения движения, соотношения Коши, физический закон, связывающий компоненты напряжения и деформации через параметры Ламе. Кроме того, используются эквивалентные уравнения в перемещениях (уравнения Ламе). Также перемещения выражаются через скалярные и векторные потенциалы [1].

Движение пластины описывается системой уравнений Паймушина В. Н. [2]. На несущие слои действуют нормальные внешние давления  $p_1$  и  $p_2$ .

В качестве граничных условий было рассмотрено шарнирное закрепление краёв:

$$\begin{aligned} w_c|_{0,l_1} = 0; \quad w_c|_{0,l_2} = 0; \quad w_a|_{0,l_1} = 0; \\ w_a|_{0,l_2} = 0; \quad \frac{\partial^2 w_c}{\partial x^2}|_{0,l_1} = 0; \quad \frac{\partial^2 w_c}{\partial y^2}|_{0,l_2} = 0; \quad \frac{\partial^2 w_a}{\partial x^2}|_{0,l_1} = 0; \quad \frac{\partial^2 w_a}{\partial y^2}|_{0,l_2} = 0. \end{aligned}$$

Через  $u_1^k$  и  $u_2^k$  обозначаем тангенциальные перемещения вдоль осей  $Ox$  и  $Oy$  соответственно, а через  $w^k$  – нормальное перемещение  $k$ -го несущего слоя.

Кинематические параметры пластины представлены в виде тригонометрических рядов, удовлетворяющих граничным условиям [3]. Применяя аналогичные преобразования к выражениям для деформаций, напряжений, перемещений и потенциалов для упругой среды, получаем тангенциальные и нормальные перемещения грунта. Поскольку занимаемая грунтом область неограниченна, то потенциалы решения уравнений движения упругой среды должны удовлетворять условиям излучения Зоммерфельда. Из условий контакта среды и пластины определяются константы:

$$\begin{aligned} p_1 = \sigma_{33}^1 + \sigma_{33}^* \Big|_{z=0}, \quad p_2 = -\sigma_{33}^2 \Big|_{z=0}; \\ w^1 + w^* \Big|_{z=0} = w^2 \Big|_{z=0} = w_0, \quad \sigma_{13}^1 \Big|_{z=0} = \sigma_{13}^2 \Big|_{z=0} = 0, \quad \sigma_{23}^1 \Big|_{z=0} = \sigma_{23}^2 \Big|_{z=0} = 0. \end{aligned}$$

На основании полученных значений констант находятся нормальные и касательные перемещения. Далее вычисляются виброускорения по осям  $Ox$ ,  $Oy$  и  $Oz$ , а также модуль виброускорения.

В качестве примера получена зависимость виброускорения  $a$  на границе пластины при  $z = 0$  от частоты волны  $\omega$  и длины пластины  $x$  при толщине пластины  $h = 0,1$  м, длине  $l = 5$  м и диапазоне частот  $\omega = 1 - 200$  Гц (рисунок 1, где 1 – модуль виброускорения  $a$  на границе пластины; 2 – модуль виброускорения  $a \cdot 10^{28}$  на расстоянии 10 м).

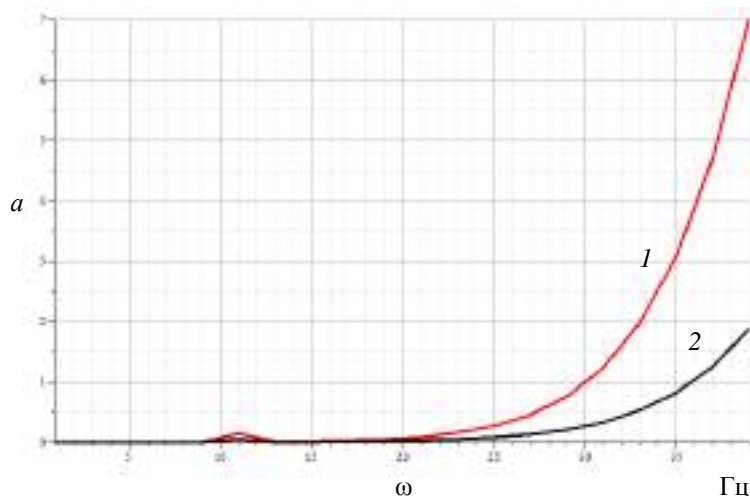


Рисунок 1

Работа выполнена при финансовой поддержке РФФИ (проект 16-58-00034).

#### Список литературы

- 1 Волны в сплошных средах : учеб. пособ. / А. Г. Горшков [и др.]. – М. : ФИЗМАТЛИТ, 2004. – 472 с.
- 2 **Иванов, В. А.** Уточненная теория устойчивости трехслойных конструкций (линеаризованные уравнения нейтрального равновесия и простейшие одномерные задачи) / В. А. Иванов, В. Н. Паймушин, Т. В. Полякова // Изв. вузов. Матем. – 1995. – № 3. – С. 15–24.
- 3 Справочник по специальным функциям / под ред. М. Абрамовица, И. Стиган. – М. : Наука, 1979. – 830 с.
- 4 Свод правил по проектированию и строительству СП 23-105–2004 «Оценка вибрации при проектировании, строительстве и эксплуатации объектов метрополитена». – М. : ГОССТРОЙ РОССИИ. – 2014.

УДК 539.37

### О СХОДИМОСТИ ЧИСЛЕННОГО МЕТОДА ПРИ МОДЕЛИРОВАНИИ ДЕФОРМИРОВАНИЯ ТОРОИДАЛЬНОЙ ОБОЛОЧКИ ЭЛЛИПТИЧЕСКОГО ПОПЕРЕЧНОГО СЕЧЕНИЯ

*И. В. ЛУЦКАЯ, В. А. МАКСИМЮК, И. С. ЧЕРНЫШЕНКО*  
*Институт механики им. С. П. Тимошенко НАН Украины, г. Киев*

Оболочки некругового поперечного сечения широко применяются в современном инженерном деле. Так, в строительстве эллиптические полые профили сочетают в себе преимущества круглых и прямоугольных профилей. Замкнутые тонкие тороидальные оболочки представляют интерес как элементы наземных и космических конструкций. К последним [1] относятся сверхлегкие надувные спутниковые компоненты, которые служат поддерживающими конструкциями космических телескопов и антенн.

Тороидальные оболочки представляют также теоретический интерес с точки зрения тестирования методов расчета оболочек, поскольку при определенном соотношении их параметров они принимают форму таких конструкций, в некоторых частях которых напряженно-деформированное состояние (НДС) оказывается очевидным [2]. Кроме того, такие оболочки представляют методологический интерес как объект тестирования на так называемое мембранное запираание (locking). Дело в том, что подобные тесты являются преимущественно двумерными. Осесимметричное деформирование оболочек вращения двойкой кривизны вследствие,